

2. Seban R. A. Transport to falling films. — In: Proc. of 6th Int. Heat Transfer Conf. Vol. 6. Ottawa, 1979.
3. Багаева С. Д., Семенов П. А., Галиуллин М. Ф. Диффузия при волновом движении тонкого слоя жидкости. — ТОХТ, 1973, т. 7, № 4.
4. Семенова И. П. Интенсификация массообмена волнами на поверхности раздела фаз при раздельном течении газожидкостной смеси. М.: изд. НИИ мех. МГУ, 1978.
5. Холпанов Л. П., Шкадов В. Я. и др. О массообмене в пленке жидкости при волнообразовании. — ТОХТ, 1967, т. 1, № 1.
6. Накоряков В. Е., Покусаев Б. Г. и др. Мгновенный профиль скорости в волновой пленке жидкости. — ИФЖ, 1977, т. 33, № 3.
7. Ho F., Hummel R. Average velocity distributions within falling liquid films. — CES, 1970, vol. 25, p. 1225.
8. Алексеев С. В., Накоряков В. Е., Покусаев Б. Г. Волны на поверхности вертикально стекающей пленки жидкости. Препринт 36—79. Новосибирск: ИТФ СО АН СССР, 1979.
9. Каница П. Л. Волновое течение тонких слоев вязкой жидкости. — ЖЭТФ, 1948, т. 18, вып. 3.

УДК 532.516

ПРОСТРАНСТВЕННАЯ УСТОЙЧИВОСТЬ ПЛЕНКИ НА ВРАЩАЮЩЕМСЯ ДИСКЕ

В. И. Елисеев

(Днепропетровск)

Одним из основных допущений при изучении устойчивости вязких слоев жидкости является параллельность основного движения. Это относится как к пограничным слоям [1, 2], так и к тонким слоям жидкости [2—4]. Такое предположение дает возможность в уравнениях возмущенного движения параметры основного течения принимать зависящими только от поперечной координаты. В настоящее время при исследовании устойчивости уделяется внимание учету пространственности течения. Это в первую очередь относится к пограничным слоям [5], где основное течение слабо зависит от продольной координаты (для плоской пластины параметры зависят от $Re^{-1/2}x^{1/2}$). Для пленки на вращающемся диске скорость зависит от $x^{1/3}$. Хотя степень при x меньше, чем в случае пограничного слоя, но здесь нет малого параметра $Re^{-1/2}$, поэтому эта зависимость должна проявляться сильнее. В данной работе проводится анализ пространственной устойчивости в рамках линейной теории. В основу решения положен асимптотический метод, разработанный в [6].

Выпишем основные уравнения в цилиндрической системе координат [1]:

$$\frac{\partial u}{\partial t} + u\frac{\partial u}{\partial r} + v\frac{\partial u}{\partial z} - \frac{w^2}{r} = -\frac{\partial p}{\rho \partial r} + \nu(\frac{\partial^2 u}{\partial r^2} + \frac{\partial u}{r \partial r} - \frac{u}{r^2} + \frac{\partial^2 u}{\partial z^2}),$$

$$\frac{\partial v}{\partial t} + u\frac{\partial v}{\partial r} + v\frac{\partial v}{\partial z} = -\frac{\partial p}{\rho \partial z} + \nu(\frac{\partial^2 v}{\partial r^2} + \frac{\partial v}{r \partial r} + \frac{\partial^2 v}{\partial z^2}),$$

$$\frac{\partial w}{\partial t} + u\frac{\partial w}{\partial r} + v\frac{\partial w}{\partial z} + \frac{uw}{r} = \nu(\frac{\partial^2 w}{\partial r^2} + \frac{\partial w}{r \partial r} - \frac{w}{r^2} + \frac{\partial^2 w}{\partial z^2}),$$

$$\frac{\partial u}{\partial r} + \frac{u}{r} + \frac{\partial v}{\partial z} = 0.$$

Здесь r лежит в радиальной плоскости; z перпендикулярна ей; u — радиальная, v — осевая, w — тангенциальная составляющие скорости; p — давление; ν — кинематический коэффициент вязкости; ρ — плотность. В этих уравнениях отброшены члены, зависящие от угла θ , так как в дальнейшем будем считать, что ни основное, ни возмущенное течения не зависят от него.

Граничными условиями для выписанных уравнений являются условия на диске и на свободной поверхности

$$w = \Omega r, \quad u = 0, \quad v = 0 \quad (z = 0),$$

$$v = \frac{\partial a}{\partial t} + u \frac{\partial a}{\partial r} \quad (z = a),$$

$$p_{n\tau} = 0, \quad p_{nn} = -p_a + \frac{\sigma}{r} \frac{\partial}{\partial r} \left(r \frac{\partial a}{\partial r} \right),$$

где a — толщина пленки; $p_{n\tau}$ — касательное к поверхности пленки напряжение; p_{nn} — нормальное напряжение; σ — поверхностное натяжение; Ω — угловая скорость. Для исследования устойчивости в рамках линейной модели представим все параметры течения в виде

$$u = W(u_y + u_\delta), \quad v = W(v_y + v_\delta), \quad w = W(w_y + w_\delta), \quad a = a_0(y + \delta),$$

где W — масштаб скорости; u_y, v_y, w_y — соответствующие компоненты невозмущенной скорости; $u_\delta, v_\delta, w_\delta$ — соответствующие компоненты возмущенной скорости; a_0 — линейный масштаб; y — относительная толщина невозмущенной пленки; δ — амплитуда возмущения поверхности, отнесенная к a_0 .

Дальнейшее рассмотрение проведем в переменных

$$\xi = r/a_0, \quad n = z/a, \quad \tau = Wt/a_0.$$

Задача о течении пленки на вращающихся дисках рассматривалась в работах [2, 4, 7–9]. В [2, 4, 7] получены асимптотические решения, в основе которых лежат разные подходы к задаче. В [8, 9] проведены численные расчеты течения пленки, причем в [8] задача решалась с учетом начального профиля пленки. В нашем случае воспользуемся следующим асимптотическим представлением параметров пленки при больших ξ :

$$(1) \quad u_y = \operatorname{Re} \left(n - \frac{1}{2} n^2 \right) \xi^{-1/3} + \operatorname{Re}^3 \left\{ \frac{124}{315} \left(n - \frac{1}{2} n^2 \right) - \frac{2}{9} \frac{\operatorname{Fr}^{-1}}{\operatorname{Re}^2} \left(n - \frac{1}{2} n^2 \right) + \left(\frac{n^6}{630} - \frac{n^5}{60} - \frac{n^4}{36} + \frac{2}{9} n^3 - \frac{22}{45} n \right) \right\} \xi^{-9/3},$$

$$w_y = \xi + \operatorname{Re}^2 \left(\frac{n^3}{3} - \frac{n^4}{12} - \frac{2}{3} n \right) \xi^{-5/3},$$

$$y = \xi^{-2/3} + \operatorname{Re}^2 \left(\frac{62}{315} - \frac{2}{9} \frac{\operatorname{Fr}^{-1}}{\operatorname{Re}^2} \right) \xi^{-10/3}, \quad \operatorname{Re} = \frac{\alpha_0^{1/3} W}{\nu}, \quad \operatorname{Fr}^{-1} = \frac{g a_0}{W^2}.$$

Анализ этих выражений и сравнение с экспериментальными и численными результатами показали [10], что формулы (1) могут быть пригодны до $r/l \simeq 1,5$, где $l = \left(\frac{9}{4\pi^2} \frac{Q^2}{\nu\Omega} \right)^{1/4}$, Q — объемный расход. Из условия сохранения массы и граничного условия на диске можно определить масштабы

$$(2) \quad a_0 = \left(\frac{3}{2\pi} \frac{\nu Q}{\Omega^2} \right)^{1/5}, \quad W = a_0 \Omega.$$

Перейдем теперь к рассмотрению уравнений возмущенного движения. В рамках линейной теории устойчивости выпишем уравнения возмущенного движения и граничные условия:

$$(3) \quad \frac{\partial u_\delta}{\partial \tau} - \frac{\delta}{y} n \frac{\partial u_y}{\partial n} + u_y \frac{\partial u_\delta}{\partial \xi} - \frac{\delta'}{y} u_y n \frac{\partial u_y}{\partial n} + \frac{v_\delta}{y} \frac{\partial u_y}{\partial n} - 2 \frac{w_y w_\delta}{\xi} =$$

$$= - \frac{\partial p_\delta}{\rho \partial \xi} + n \frac{\delta'}{y} \frac{\partial p_y}{\rho \partial n} + \operatorname{Re}^{-1} \left\{ \frac{\partial^2 u_\delta}{\partial \xi^2} - \frac{\delta''}{y} n \frac{\partial u_y}{\partial n} + 4 \frac{y' \delta'}{y^2} n \frac{\partial u_y}{\partial n} - 2 \frac{y'}{y} n \frac{\partial^2 u_\delta}{\partial \xi \partial n} - \right.$$

$$\left. - 2 \frac{\delta'}{y} n \frac{\partial^2 u_y}{\partial \xi \partial n} + 2 \frac{y' \delta'}{y^2} n^2 \frac{\partial^2 u_y}{\partial n^2} + \xi^{-1} \frac{\partial u_\delta}{\partial \xi} + y^{-2} \left(\frac{\partial^2 u_\delta}{\partial n^2} - 2 \frac{\delta}{y} \frac{\partial^2 u_y}{\partial n^2} \right) \right\},$$

$$\frac{\partial v_\delta}{\partial \tau} - \frac{\delta}{y} n \frac{\partial v_y}{\partial n} + u_y \frac{\partial v_\delta}{\partial \xi} = - y^{-1} \left(\frac{\partial p_\delta}{\partial n} - \frac{\delta}{y} \frac{\partial p_y}{\partial n} \right) +$$

$$+ \operatorname{Re}^{-1} \left\{ \frac{\partial^2 v_\delta}{\partial \xi^2} + y^{-2} \left(\frac{\partial^2 v_\delta}{\partial n^2} - 2 \frac{\delta}{y} \frac{\partial^2 v_y}{\partial n^2} \right) \right\} - \frac{\delta}{y} \operatorname{Fr}^{-1},$$

$$\frac{\partial w_\delta}{\partial \tau} + u_\delta \frac{\partial w_y}{\partial \xi} + \frac{w_y u_\delta}{\xi} = \operatorname{Re}^{-1} \left\{ \frac{\partial^2 w_\delta}{\partial \xi^2} + y^{-2} \left(\frac{\partial^2 w_\delta}{\partial n^2} - 2 \frac{\delta}{y} \frac{\partial^2 w_y}{\partial n^2} \right) \right\},$$

$$\frac{\partial u_\delta}{\partial \xi} - \frac{y'}{y} n \frac{\partial u_\delta}{\partial n} + \frac{y'}{y} n \frac{\delta}{y} \frac{\partial u_y}{\partial n} - \frac{\delta'}{y} n \frac{\partial u_y}{\partial n} + \xi^{-1} u_\delta + y^{-1} \frac{\partial v_\delta}{\partial n} - \frac{\delta}{y^2} \frac{\partial v_y}{\partial n} = 0;$$

$$(4) \quad \begin{aligned} u_\delta &= 0, \quad v_\delta = 0, \quad w_\delta = 0 \quad (n=0), \\ v_\delta &= \dot{\delta} + u_y \delta' + y' u_\delta \quad (n=1), \\ y^{-1} \frac{\partial u_\delta}{\partial n} + \frac{\partial v_\delta}{\partial \xi} - \frac{y'}{y} n \frac{\partial v_\delta}{\partial n} - \frac{\delta'}{y} n \frac{\partial v_y}{\partial n} &= 2y' \left(\frac{\partial u_\delta}{\partial \xi} - y^{-1} \frac{\partial v_\delta}{\partial n} \right) + 2\delta' \left(\frac{\partial u_y}{\partial \xi} - y^{-1} \frac{\partial v_y}{\partial n} \right), \\ -p_\delta + 2\text{Re}^{-1} \left(y^{-1} \frac{\partial v_\delta}{\partial n} - \frac{\delta}{y^2} \frac{\partial v_y}{\partial n} \right) &= \left(\delta'' + \frac{\delta'}{\xi} \right) \text{We}^{-1}, \end{aligned}$$

где $\dot{\delta} = \partial\delta/\partial\tau$; $\delta' = \partial\delta/\partial\xi$; $y' = dy/d\xi$; $\text{We}^{-1} = \sigma/(\rho a_0 W^2)$.

Из выражений (3), (4) видно, что при $\delta = 0$ имеем тривиальное решение системы. Как это принято в теории пространственной устойчивости, будем задавать возмущения свободной поверхности в виде $\delta = e^{i\omega\tau} \bar{\delta}(\xi)$, где ω — частота колебаний, тогда все определяемые параметры примут вид

$$\zeta_\delta = e^{i\omega\tau} \bar{\zeta}_\delta, \quad \bar{\zeta}_\delta = \{u_\delta, v_\delta, w_\delta, p_\delta\}.$$

После подстановки этих выражений в (1), (2) получим задачу на собственные значения и собственные функции.

Для нахождения решений представим определяемые величины как (черту над ζ_δ для удобства опустим)

$$(5) \quad \begin{aligned} \delta &\sim \xi^m \exp [i(\gamma\xi^k + \dots)], \quad u_\delta \sim \xi^r \exp [i(\gamma\xi^k + \dots)], \\ v_\delta &\sim \xi^s \exp [i(\gamma\xi^k + \dots)], \quad p_\delta \sim \xi^s \exp [i(\gamma\xi^k + \dots)]. \end{aligned}$$

В выражениях (5) указаны старшие по ξ члены. В основе определения m , r , s , k лежат требования регулярности разложений и условие, что γ есть собственное значение, т. е. $\gamma = \gamma(\omega)$. Сохраняя первые три члена в кинематическом уравнении на поверхности пленки, из уравнения сохранения массы и из последнего условия (4) получим $m = r = p - 1/3$, $s = p + 1/3$, $k = 4/3$. Таким образом, решения уравнений (3) можно записать в виде

$$(6) \quad \begin{aligned} \delta &= A \xi^{p-1/3} \chi, \\ u_\delta &= A \xi^p (u_0 + \xi^{-2/3} u_1 + \xi^{-4/3} u_2 + \dots) \chi, \\ v_\delta &= A \xi^{p+1/3} (v_0 + \xi^{-2/3} v_1 + \xi^{-4/3} v_2 + \dots) \chi, \\ p_\delta &= A \xi^{p+1/3} (p_0 + \xi^{-2/3} p_1 + \xi^{-4/3} p_2 + \dots) \chi, \\ w_\delta &= A \xi^{p-4/3} (w_0 + \xi^{-2/3} w_1 + \xi^{-4/3} w_2 + \dots) \chi, \\ \chi &= \exp [i(\gamma_0 \xi^{4/3} + \gamma_1 \xi^{2/3} + \gamma_2 \xi^{-2/3} + \dots)], \end{aligned}$$

где γ_j и p — волновые числа. Для определения устойчивости течения теперь необходимо из выписанных уравнений и граничных условий определить γ_j и p . Подставляя (6) в уравнения (3) и граничные условия (4), получим цепочку уравнений для определения собственных функций. Опуская громоздкие промежуточные выражения, выпишем сразу p и γ_j :

$$(7) \quad \begin{aligned} \gamma_0 &= -1,333 \frac{\omega}{\text{Re}}, \quad \gamma_1 = 3,556 \gamma_0^3 + i1,580 \gamma_0^4 \text{We}^{-1}, \\ p &= -0,333 + \left(0,237 - 0,593 \frac{\text{Fr}^{-1}}{\text{Re}^2} \right) \text{Re}^2 \gamma_0^2 - 9,739 \gamma_0^6 \text{We}^{-1} + \\ &\quad + i(4,916 \gamma_0^5 - 3,330 \gamma_0^7 \text{We}^{-2}), \\ \gamma_2 &= 0,724 \gamma_0^3 \text{We}^{-1} - 0,439 \gamma_0^5 \text{Re}^2 \text{We}^{-1} - 5,164 \gamma_0^7 + 2,770 \gamma_0^5 \text{Fr}^{-1} \text{We}^{-1} + \\ &\quad + 54,746 \gamma_0^5 \text{We}^{-2} - i \left[3,160 \left(0,038 + 1,067 \frac{\text{Fr}^{-1}}{\text{Re}^2} \right) \gamma_0^4 \text{Re}^2 + \right. \\ &\quad \left. + 0,494 \gamma_0^2 + 51,885 \gamma_0^5 \text{We}^{-1} - 14,468 \gamma_0^{10} \text{We}^{-3} \right]. \end{aligned}$$

При определении волновых чисел (7) использовались только первые члены в (1). Для того чтобы включить в рассмотрение вторые члены в формулах (1), необходимо рассмотреть приближения, нахождение которых сопряжено с большим объемом работы, поэтому для учета вторых членов разложения (1) были найдены только те части γ_3 и γ_4 , которые непосредственно связаны с указанными членами. В результате имеем дополнительно к (7) следующие выражения:

$$\gamma_3 = -1,282 \text{Re}^2 \gamma_0, \quad \gamma_4 = -2,339 \text{Re}^2 \gamma_0^3 - i 3,320 \gamma_0^4 \text{Re}^2 \text{We}^{-1}.$$

Таким образом, распространения поверхностных возмущений можно описать выражениями

$$(8) \quad \frac{\delta}{y} = \exp [i(\omega\tau + f_i) + f_r],$$

$$f_i = \gamma_0 \xi^{4/3} + 3,556 \gamma_0^3 \xi^{2/3} + (4,916 \gamma_0^5 - 3,330 \gamma_0^7 \text{We}^{-1}) \ln \xi +$$

$$+ \left[0,724 \gamma_0^3 \text{We}^{-1} - 1,778 \left(0,247 - 1,580 \frac{\text{Fr}^{-1}}{\text{Re}^2} \right) \gamma_0^5 \text{Re}^2 \text{We}^{-1} - \right.$$

$$\left. - 5,161 \gamma_0^7 + 54,746 \gamma_0^6 \text{We}^{-2} \right] \xi^{-2/3} - 1,282 \text{Re}^2 \gamma_0 \xi^{-4/3} - 2,339 \text{Re}^2 \gamma_0^3 \xi^{-6/3},$$

$$f_r = -1,580 \gamma_0^4 \text{We}^{-1} \xi^{2/3} + \left[1,778 \left(0,133 - 0,333 \frac{\text{Fr}^{-1}}{\text{Re}^2} \right) \gamma_0^2 \text{Re}^2 - \right.$$

$$\left. - 9,739 \gamma_0^6 \text{We}^{-1} \right] \ln \xi + \left[3,160 \left(0,038 + 1,067 \frac{\text{Fr}^{-1}}{\text{Re}^2} \right) \gamma_0^4 \text{Re}^2 + 0,494 \gamma_0^2 + \right.$$

$$\left. + 51,885 \gamma_0^8 \text{We}^{-1} - 14,468 \gamma_0^{10} \text{We}^{-3} \right] \xi^{-2/3} + 3,320 \gamma_0^4 \text{Re}^2 \text{We}^{-1} \gamma^{-6/3}.$$

Из (8) следует, что возмущения распространяются только в сторону увеличения ξ , что подтверждается экспериментом [10]. Если теперь проинтегрировать мнимую часть в экспоненте по τ , то получим безразмерную фазовую скорость

$$c_\phi = -\omega \left\{ 1,333 \gamma_0 \text{We}^{-1} \xi^{1/3} + 2,370 \gamma_0^3 \xi^{-1/3} + (4,916 \gamma_0^5 - \right.$$

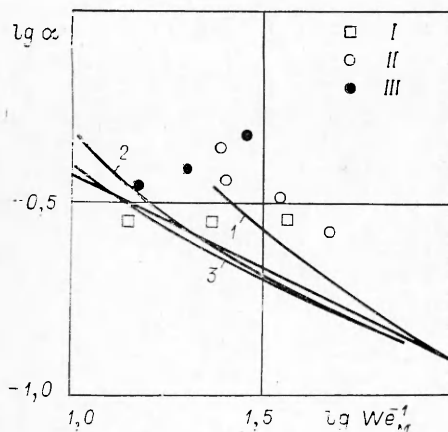
$$\left. - 3,330 \gamma_0^7 \text{We}^{-2}) \xi^{-1} - 0,667 \left[0,724 \gamma_0^3 \text{We}^{-1} - \left(0,247 - 1,580 \frac{\text{Fr}^{-1}}{\text{Re}^2} \right) \times \right. \right.$$

$$\left. \times 1,778 \gamma_0^5 \text{Re}^2 \text{We}^{-1} - 5,161 \gamma_0^7 + 54,746 \gamma_0^6 \text{We}^{-2} \right] \xi^{-5/3} +$$

$$\left. + 1,709 \text{Re}^2 \gamma_0 \xi^{-7/3} + 4,678 \gamma_0^9 \text{Re}^2 \xi^{-9/3} \right\}^{-1},$$

откуда видно, что c_ϕ имеет при некотором γ_0 минимум. Функция f_r указывает на изменение амплитуды возмущений. При $f_r > 0$ возмущения с ростом ξ увеличиваются, при $f_r < 0$ — затухают. Для случая, когда $\text{Re}^2 < (5/2)\text{Fr}^{-1}$, f_r с ростом ξ убывает для всех длин волн, т. е. в этом случае течение пленки абсолютно устойчиво. Для $\text{Re}^2 > (5/2)\text{Fr}^{-1}$ величина f_r зависит от длины волны. При возникновении коротковолновых возмущений по мере их распространения на некотором расстоянии ξ начинает влиять первый член в f_r , в результате чего эти возмущения затухают. Чем меньше γ_0 , тем на большие расстояния от центра диска распространяются соответствующие им возмущения. Рост возмущений приводит к появлению волн на поверхности пленки. Экспериментальному исследованию волнового движения пленки на диске посвящены работы [10—12]. В [12] показано, что волны на поверхности пленки появляются на некотором расстоянии

$$L_{\text{вх}} = (Q/(2\pi\nu^{1/2}\Omega^{1/2}))^{1/2}.$$



Дальнейшее поведение волн зависит от подаваемого расхода и угловой скорости диска. В [9] численно показано, что при некотором расходе жидкости наступает «захлебывание» пленки. Максимальная величина расхода, при котором «захлебывание» наступает на расстоянии радиуса диска, определяется формулой

$$Q = 1,9\pi R_0^2 \Omega^{1/2} \nu^{1/2}.$$

Интересно отметить, что если вместо радиуса диска взять текущий радиус, соответствующий моменту «захлебывания», то получим величину, близкую к $L_{вх}$ работы [12]:

$$R_3 = (Q/(1,9\pi\nu^{1/2}\Omega^{1/2}))^{1/2}.$$

В нашем случае мы не можем описать возникновение и распространение возмущений в этой области, так как $L_{вх} < l$, а асимптотическое разложение (1), как указывалось, справедливо при $r/l \geq 1,5$. Однако с помощью выражений (8) можно получить характеристики поверхностных волн, в частности волновое число $\alpha = 2\pi\delta/\lambda$. Как видно из последнего выражения (8), f_r имеет максимальное значение при некотором значении γ_0 . Это соответствует наиболее быстро растущим возмущениям. На фигуре, взятой из [10], приведены кривые волновых чисел, рассчитанные для указанных возмущений: кривой I соответствует $Re = 47,537$, $We^{-1} = 88,868$; 2 — $Re = 65,560$, $We^{-1} = 24,542$; 3 — $Re = 75,303$, $We^{-1} = 14,096$; точки I — $\nu^* = 1$, $\sigma^* = 0,83$; II — $\nu^* = 1$, $\sigma^* = 0,96$; III — $\nu^* = 2,6$, $\sigma^* = 0,85$ (ν^* , σ^* — кинематический коэффициент вязкости и коэффициент поверхностного натяжения жидкости, отнесенные к соответствующей величине дистиллированной воды).

Прямая соответствует наиболее растущим возмущениям для пленок на вертикальной поверхности. По оси абсцисс отложены местные числа Вебера $We_M^{-1} = 9We^{-1}Re^{-2}\xi^{4/3}$. Из фигуры видно, что с ростом числа Вебера волновые числа уменьшаются. При постоянных числах Re и We^{-1} увеличение местного числа We_M^{-1} связано с увеличением ξ , а увеличение ξ приводит к тому, что задача о течении пленки на диске совпадает с течением пленки на стенке [2]. Отсюда следует, что при увеличении ξ волновые числа приближаются к волновым числам на текущей по стенке пленке.

Поступила 3 IX 1982

ЛИТЕРАТУРА

1. Шлихтинг Г. Теория пограничного слоя. М.: Наука, 1969.
2. Шкадов В. Я. Некоторые методы и задачи теории гидродинамической устойчивости. — Труды МГУ, 1973, № 25.
3. Лышевский А. С. Закономерности дробления жидкостей механическими форсунками давления. Новочеркасск: Новочеркасск. политехн. ин-т, 1961.
4. Дитякин Ю. Ф., Клячко Л. А., Новиков Б. В., Ягодкин В. И. Распыливание жидкостей. М.: Машиностроение, 1977.
5. Качанов Ю. С., Козлов В. В., Левченко В. Я. Возникновение турбулентности в пограничном слое. Новосибирск: Наука, 1982.
6. Елксеев В. И. Устойчивость струй идеальной несжимаемой жидкости. — ПМТФ, 1981, № 3.
7. Freidenreich N. Flow of a liquid film over a rotating disk. — Revista Mexicana de Fisica, 1976, vol. 25, N 2.
8. Дорфман Л. А. Течение и теплообмен в слое вязкой жидкости на вращающемся диске. — ИФЖ, 1967, т. 12, № 3.
9. Лепехин Г. И., Рябчук Г. В. и др. Течение вязкой жидкости по поверхности вращающегося плоского диска. — ТОХТ, 1981, т. 15, № 3.

10. Charwat A. F., Kelly R. E. The flow and stability of thin liquid films on a rotating disk. — J. Fluid Mech., 1972, vol. 53, p. 2.
 11. Espig H., Hoyle R. Waves in a thin liquid layer on a rotating disk. — J. Fluid Mech., 1965, vol. 22, p. 4.
 12. Бутузов А. П., Пуховой И. И. О режимах течения пленки жидкости на вращающейся поверхности. — ИФЖ, 1976, т. 31, № 2.

УДК 532.526

О ПРОСТРАНСТВЕННОМ ИСКАЖЕНИИ СРЕДНЕГО ПОЛЯ ПОГРАНИЧНОГО СЛОЯ СОБСТВЕННЫМИ КОЛЕБАНИЯМИ

Н. А. Желтухин, Н. М. Терехова

(Новосибирск)

1. Одной из фаз нелинейного развития возмущений в области перехода от ламинарного режима течения к турбулентному в пограничном слое вязкой несжимаемой жидкости на пластине является фаза зарождения и последующего развития трехмерного осцилляционного поля, в результате чего возмущения обнаруживают четко выраженную пространственную структуру с чередующимися максимумами (гребнями или пиками) и минимумами (впадинами) амплитуд в поперечном направлении (по оси z). Вопрос о причинах появления в течении такого собственного волнового поля еще окончательно не выяснен. Одной из них может быть взаимодействие первоначально плоских возмущений конечной интенсивности с малыми локальными пространственными неоднородностями среднего течения, которое приводит к порождению пары косых волн Толлмина — Шлихтинга [1]. Собственные слабые неоднородности волн, имеющие место в районе передней кромки, также могут нести в себе прообраз будущих реальных волновых полей.

Дальнейшее трехволновое резонансное взаимодействие в области нелинейного развития плоских волн приводит к усилению трехмерных компонент [2, 3]. Так, в [4] показано, что при достижении пороговых амплитуд $\kappa_d \sim 0,007$ начинается сильный рост косых волн, так что собственное поле возмущений пограничного слоя принимает вид аддитивного поля волн Толлмина — Шлихтинга:

$$(1.1) \quad \begin{aligned} u'(x, y, z, t) &= \kappa_d u_d(y) e^{\Omega_1} + 2\kappa_T u_T(y) e^{\Omega_2} \cos \beta z, \\ v'(x, y, z, t) &= \kappa_d v_d(y) e^{\Omega_1} + 2\kappa_T v_T(y) e^{\Omega_2} \cos \beta z, \\ w'(x, y, z, t) &= 2\kappa_T i w_T(y) e^{\Omega_2} \sin \beta z, \end{aligned}$$

где $\Omega_1 = i\alpha_1(x - C_1 t)$; $\Omega_2 = i\alpha_2(x - C_2 t)$. Угол наклона косых волн к плоскости течения определяется как $\theta = \arctg \beta/\alpha$. Наличие собственных возмущений такого вида приводит к качественному изменению структуры среднего течения — в нем обнаруживаются минимумы средней скорости в местах пиков волн и максимумы в местах впадин. Это интерпретируется как появление в потоке системы локализованных в пограничном слое продольных вихрей, периодических по координате z и стационарных (или квазистационарных) во времени (вихри Бенни — Линя). Исследование вторичных вихревых режимов проведено в ряде работ [5—7] по методу возмущений в рамках слабонелинейной теории. Показано, что наличие слабой трехмерности $\kappa_d \gg \kappa_T$ вызывает к жизни слабый подковообразный вихрь, занимающий положение, определяемое полупериодом волн (1.1) $0 \leq \beta z \leq \pi$. Рост амплитудного параметра κ_T приводит к усложнению этой вторичной структуры, и при $\kappa_T \gg \kappa_d$ вихревая картина представится системой противоположно закрученных пар. Такой предельный случай рассмотрен в [8] на основе численного решения уравнений Рейнольдса для осредненного течения, что позволило установить не только количественные зависимости вихреобразования от величин κ_T , но и рассчитать